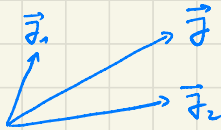


Announcement: Office hours for exam see webpage

Review: Addition of angular momenta

$$\begin{aligned}\hat{\vec{L}} + \hat{\vec{s}} &= \hat{\vec{J}} \\ \hat{\vec{S}_1} + \hat{\vec{S}_2} &= \hat{\vec{S}} \\ \hat{\vec{L}_1} + \hat{\vec{L}_2} &= \hat{\vec{L}}\end{aligned}$$



$$|\langle \vec{J}_1 \vec{J}_2 \rangle \vec{J} \vec{J}_2 \rangle = \sum_{m_{J_1}, m_{J_2}} C_{m_{J_1} m_{J_2}}^{\vec{J} \vec{J}_2} |\vec{J}_1 m_{J_1} \rangle |\vec{J}_2 m_{J_2} \rangle$$

$\vec{J}_z = m_{J_1} + m_{J_2}$

Clebsch-Gordan coefficients, real numbers

Example:  $S_1 = S_2 = \frac{1}{2}$

Spin triplet:  $|S=1, M_S=1\rangle = \frac{1}{\sqrt{2}} |\uparrow\uparrow\rangle$

$$S=1$$

$$2S+1=3$$

symmetric

$$|S=1, M_S=0\rangle = \frac{1}{\sqrt{2}} |\uparrow\downarrow\rangle + \frac{1}{\sqrt{2}} |\downarrow\uparrow\rangle$$

$$|S=1, M_S=-1\rangle = \frac{1}{\sqrt{2}} |\downarrow\downarrow\rangle$$

Spin singlet:  $|S=0, M_S=0\rangle = \frac{1}{\sqrt{2}} |\uparrow\downarrow\rangle - \frac{1}{\sqrt{2}} |\downarrow\uparrow\rangle$

antisymmetric

under spin exchange

$$C_{\frac{1}{2} \frac{-1}{2} \frac{1}{2} \frac{1}{2}}^{11} = 0$$

## Addition von 3 (oder mehr) Drehimpulsen

durch sukzessive Koppeln

$$\hat{\vec{J}} = \hat{\vec{j}}_1 + \hat{\vec{j}}_2 + \hat{\vec{j}}_3 = \underbrace{\left( \hat{\vec{j}}_1 + \hat{\vec{j}}_2 \right)}_{\hat{\vec{J}}_{12}} + \hat{\vec{j}}_3$$

oder

$$= \hat{\vec{j}}_1 + \left( \underbrace{\hat{\vec{j}}_2 + \hat{\vec{j}}_3}_{\hat{\vec{J}}_{23}} \right)$$

$$= \hat{\vec{j}}_{13} + \hat{\vec{j}}_2$$

$$\hat{\vec{J}}_{12} \quad \begin{matrix} \hat{\vec{J}}_{12} \\ \hat{j}_1, m_j, \hat{j}_2, m_{j2} \end{matrix}$$

$$\hat{\vec{J}}_{23} \quad \begin{matrix} \hat{\vec{J}}_{23} \\ \hat{j}_{12}, \hat{j}_{12}, \hat{j}_3, m_{j3} \end{matrix}$$

Wasserstoffatom mit Spin-Bahn Wechselwirkung  $\rightarrow$  Feinstruktur - aufspaltung

$$\hat{H} = \hat{H}_0 + V_{LS}(r) \hat{\vec{L}} \cdot \hat{\vec{S}}$$

$$V_{LS}(r) = \frac{\hbar^2}{2m_e c^2} \frac{1}{r} \frac{dV}{dr} > 0$$

$$\hat{\vec{L}} \cdot \hat{\vec{S}} = \frac{1}{2} \left( \hat{j}^2 - \hat{L}^2 - \hat{S}^2 \right)$$

$$= \frac{1}{2} \left( j(j+1) - l(l+1) - s(s+1) \right) \text{ gekoppelte Eigenzustände}$$

$$\text{für } S = \frac{1}{2} \quad |l - \frac{1}{2}| \leq j \leq l + \frac{1}{2}$$

$$\text{mögliche } J = j> = l + \frac{1}{2} \quad \text{und} \quad J = j< = l - \frac{1}{2} \quad \text{für } l > 0$$

$$\Rightarrow \hat{\vec{L}} \cdot \hat{\vec{S}} = \frac{1}{2} \begin{cases} l & , \quad j_s = l + \frac{1}{2} \\ -(l+1) & , \quad j_s = l - \frac{1}{2} \end{cases} \text{ für } l > 0$$

### 1. Ordnung entartete Störungstheorie

$$\hat{H}_0 + \underbrace{V_{LS}(r) \hat{\vec{L}} \cdot \hat{\vec{S}}}_{\text{Stör}}$$

→ Diagonalisiere  $V_{LS}(r) \hat{\vec{L}} \cdot \hat{\vec{S}}$  im Unterraum zu ges. n

$$E_n^{(1)} = -\frac{m(2ac)^2}{2n^2}$$

in gekoppelten Zuständen  $| (ls) j_1 j_2 \rangle$  ist  $\hat{\vec{L}} \cdot \hat{\vec{S}}$  diagonal!

$$\begin{array}{ccc} \underline{E_n^{(1)}, l} & \xrightarrow[2l+2 \text{ fach entartet}]{\quad} & \downarrow E_{n,j}^{(1)} \sim l, \quad j_s = l + \frac{1}{2} \\ & \xrightarrow[2l \text{ fach entartet}]{\quad} & \uparrow \sim -(l+1), \quad j_s = l - \frac{1}{2} \end{array}$$

$$E_{n,j}^{(1)} = \langle (ls| j_1 j_2 | V_{LS}(r) \hat{\vec{L}} \cdot \hat{\vec{S}} | (ls) j_1 j_2 \rangle$$

$$= \left( \int_0^\infty r^2 dr | R_{nl}(r) |^2 V_{LS}(r) \right) \cdot \frac{1}{2} \begin{cases} l & , j_s = l + \frac{1}{2} \\ -(l+1) & , j_s = l - \frac{1}{2} \end{cases} > 0$$

→ Feinstrukturaufspaltung in 2 Niveaus für  $l > 0$

$$\text{Dimensionalität: ungestört } (2l+1) \cdot (2s+1) = 2 \cdot (2l+1) \checkmark = 2l+2 + 1$$

(inklusive Summe)

größeres  $j_s$  liegt aufgrund repulsiver  $V_{LS}$  höher in Energie

für  $l=0$  keine Aufspaltung und Keine Verschiebung

$$\left( \int_0^\infty r^2 dr |R_{nl}(r)|^2 V_{LS}(r) \right) = \frac{\hbar^2}{2m c^2} \left\langle \frac{1}{r} \frac{dV}{dr} \right\rangle$$

$$= \frac{\hbar^2}{2m c^2} Z \alpha \frac{1}{r^3} \underbrace{\left\langle \frac{1}{r^3} \right\rangle}_{\frac{Z^3}{n^3 r_0^3}}$$

$$= \frac{mc^2}{2n^3} (Z\alpha)^4$$

$$\frac{\Delta E_{LS}}{E_{nl}^{(0)}} = \frac{E_{n\ell_2}^{(1)} - E_{n\ell_1}^{(1)}}{E_{nl}^{(0)}} \sim \frac{(Z\alpha)^2}{n} \ll 1$$

$$E_{nl}^{(0)} = -\frac{mc^2}{2n^2}$$

$$\text{Feinstrukturkonstante } \alpha = \frac{1}{137} \rightarrow \text{relativistische Korr.}$$

$$\hat{H} = \underbrace{\frac{p^2}{2m} - \frac{Z \alpha \hbar^2}{r}} + \underbrace{V(r) \frac{1}{L \cdot S}}_{\text{nicht diag. in } |n(ls)\rangle \rangle_2}$$

diagonal in  $|n l m_s| s = \frac{1}{2} m_s \rangle$

$|n l m_s m_s \rangle$

diagonal in  $|n (ls)\rangle \rangle_2$

diagonal in  
 $|(ls)\rangle \rangle_2$

nicht diag. in  
 $|l m_s m_s \rangle$

## Hyperfeinstrukturaufspaltung

durch Kopplung des Gesamtspins des Elektrons  $\hat{\vec{j}}_e = \hat{\vec{L}}_e + \hat{\vec{S}}_e$

mit Kernspin  $\vec{I}_A$

$$\rightarrow \vec{F} = \hat{\vec{j}} + \vec{I} = \underbrace{(\hat{\vec{L}}_e + \hat{\vec{S}}_e)}_{\hat{\vec{j}}} + \vec{I}$$

Wechselwirkung zwischen  $\hat{\vec{j}}_e \cdot \vec{I}$   $\rightarrow$  Hyperfeinstruktur

$$= \frac{1}{2} \left( \hat{\vec{F}}^2 - \hat{\vec{j}}^2 - \vec{I}^2 \right)$$

## Wasserstoffatom mit Spin in äußeren $\vec{B}$ Feld $\vec{B} = (0, 0, B)$

Zeeman Effekt:  $\hat{V}_0 = - \hat{\vec{\mu}} \cdot \vec{B}$



$$\hat{\vec{\mu}} = \frac{e}{2mc} \hat{\vec{L}} = - M_B \frac{\hat{\vec{L}}}{\hbar}$$

↑  
Bohr Magneton  $M_B = \frac{e \hbar}{2mc}$

$$\hat{H} = \underbrace{\frac{\hat{p}^2}{2m}}_{\text{kinetic}} - \frac{ze\alpha hc}{r} + \underbrace{\frac{\hbar^2}{2m^2c^2} \frac{1}{r} \frac{dv}{dr}}_{\text{Coriolis}} \hat{\vec{L}} \cdot \hat{\vec{S}} + g_e |M_B| B \hat{L}_z$$

dhilos.

$g_e$

$g_s$ : gyromagnetische Faktor

$g_e = 1$

$$g_s = 2 + \frac{\alpha}{\pi} + O(\alpha^2)$$

Dirac

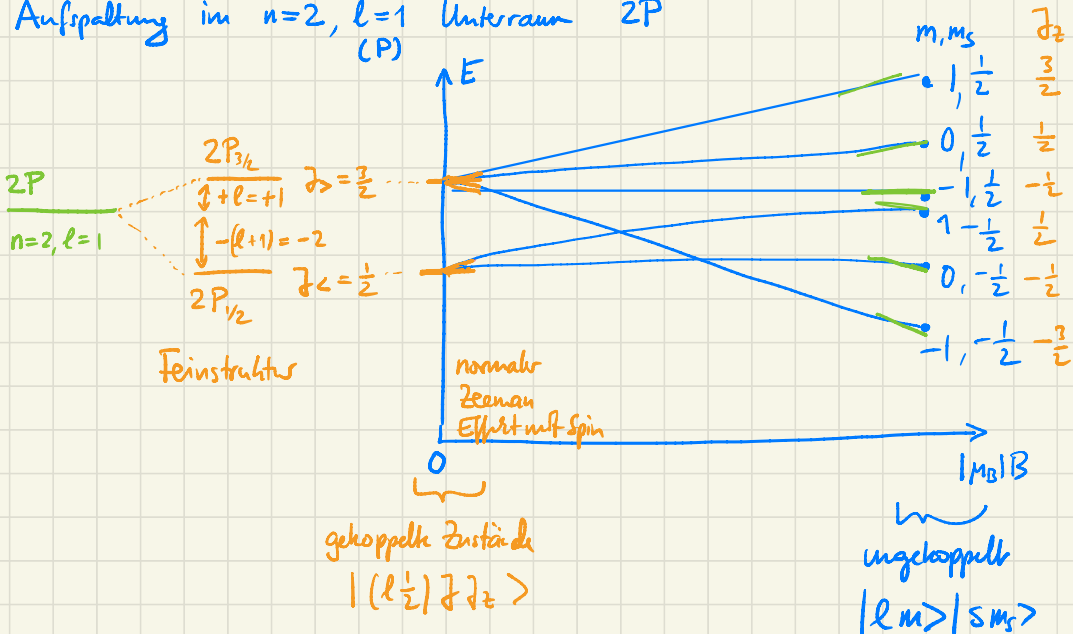
Schwinger

QED

$$+ g_s |M_B| B \hat{S}_z$$

$$g \approx 2.0023$$

Aufspaltung im  $n=2, l=1$  Unterraum 2P



große  $B$      $\hat{H} = \dots |m_B|B \hat{L}_z + g |m_B|B \hat{S}_z$

$\underbrace{\qquad\qquad\qquad}_{m + g m_s}$

$m, m_s: 1, \frac{1}{2} \quad 1 + \frac{9}{2} \approx 2.001$

$0, \frac{1}{2} \quad 0 + \frac{9}{2} \approx 1.$

$-1, \frac{1}{2} \quad -1 + \frac{9}{2} \approx 0.001 \quad \left. \begin{array}{l} \\ \end{array} \right\} \approx \text{konst}$

$1, -\frac{1}{2} \quad 1 - \frac{9}{2} = -0.001 \quad \text{als Fkt. von } B$

$0, -\frac{1}{2} \quad 0 - \frac{9}{2} \approx -1.$

$-1, -\frac{1}{2} \quad -1 - \frac{9}{2} \approx -2.$

→ Entkopplung bei großen  $B$ -Feld: Pashen-Back Effekt

## 12. Zeitabh. Störungstheorie: Goldene Regel

$$\text{QM : } [\hat{x}, \hat{p}_x] = i\hbar$$

$$\underbrace{[\hat{x}, \hat{p}_x]}_{\longrightarrow} = i\hbar \quad \Delta x \Delta p_x \geq \hbar$$

Heisenberg'sche Unschärfe